

## ЛИТЕРАТУРА

1. Rhodes W. T. Incoherent spatial filtering.— Opt. Eng., 1980, v. 3, N 3, p. 323—330.
2. Иванченков В. П., Посконный Г. И. Спектральный анализ сигналов в оптико-электронных системах с пространственно-инкогерентным источником излучения.— Автометрия, 1983, № 2, с. 52—57.
3. Потатуркин О. И., Хоцкин В. И. Голографический метод обработки изображений в пространственно-инкогерентном монохроматическом свете.— В кн.: Оптическая обработка информации. Л.: ФТИ, 1979, с. 61—66.
4. Nazarathy M., Shamir J. Fourier optics described by operator algebra.— JOSA, 1980, v. 70, N 2, p. 150—159.
5. Вандер Люйт. Когерентная обработка информации.— ТИНЭГ, 1977, т. 62, № 10, с. 5—28.
6. Bonnet G. Coherence partielle polychromatique: filtrage spatiotemporel et transformation de Fourier.— Nouvell Revue d'Optique Appliquée, 1976, t. 7, N 4, p. 235—258.
7. Панулис А. Теория систем и преобразований в оптике.— М.: Мир, 1971.
8. Гудмен Дж. Введение в фурье-оптику.— М.: Мир, 1970.
9. Ахманов С. А., Дьячков Ю. Е., Чиркин А. С. Введение в статистическую радиофизику и оптику.— М.: Наука, 1981.

Поступила в редакцию 13 сентября 1984 г.

УДК 535.36 : 535.33

В. Н. НАРВЕР, В. С. СКОБЛО  
(Ленинград)

### ОЦЕНКА МОЩНОСТИ СВЕТОВОГО СИГНАЛА, РАССЕЯННОГО СФЕРИЧЕСКОЙ ЧАСТИЦЕЙ ОТ ДВУХ КОГЕРЕНТНЫХ ПУЧКОВ, В МАЛОУГЛОВОМ ПРИБЛИЖЕНИИ

Как известно, индикатриса рассеяния сферического объекта, сравнимого с длиной волны  $\lambda$  падающего поля, описывается медленно сходящимися рядами, полученными в теории Ми [1]. Эффективное суммирование таких рядов возможно либо в случае малых по сравнению с  $\lambda$  частиц (рассеяние Рэлея [2]), либо в случае больших «оптически мягких» частиц [3, 4]. Кусочно-линейная аппроксимация табличных значений индикатрис с последующим двойным интегрированием (для расчета принимаемой мощности сигнала) [5] требует больших ресурсов ЭВМ, не обеспечивая в то же время высокой точности.

В работе рассмотрена предложенная авторами аналитическая аппроксимация индикатрисы рассеяния сферической частицы с размерами, соизмеримыми с длиной волны, позволившая получить аналитические выражения для рассеянной мощности.

Пусть на сферическую частицу О радиусом  $a$  с относительным показателем преломления  $m_0$  падают под углами  $\theta$  и  $-\theta$  к оси визирования  $z$  два гауссовых световых пучка 1 и 2 (рис. 1). Введем обозначения:  $\varrho_i$  — радиус  $i$ -го пучка на уровне  $e^{-1}$  по интенсивности;  $j_i$  — интенсивность  $i$ -го пучка ( $i = 1, 2$ );  $\lambda$  — длина световой волны. Рассеянный свет принимается в угле  $2\beta$ , биссектриса которого составляет угол  $\phi$  с осью  $z$ .

В случае симметрии системы, изображенной на рис. 1 (т. е.  $\phi = 0$  — рассеяние «вперед» или  $\phi = \pi$  — рассеяние «назад»), мощность, рассеянная в угол  $2\beta$ , охватываемый приемной оптикой, будет равна

$$P = G(|U_1|^2 + |U_2|^2)(1 + Mf), \quad (1)$$

где  $G = G_i = \int \int I_i d\varrho_i$ ;  $I_i$  — индикатриса рассеяния частицы О при паде-

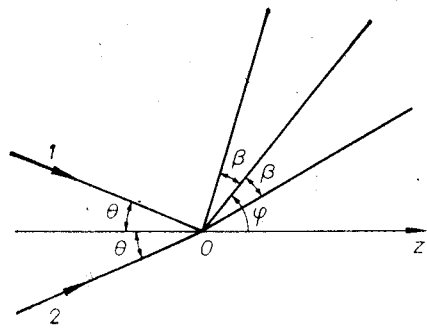


Рис. 1.

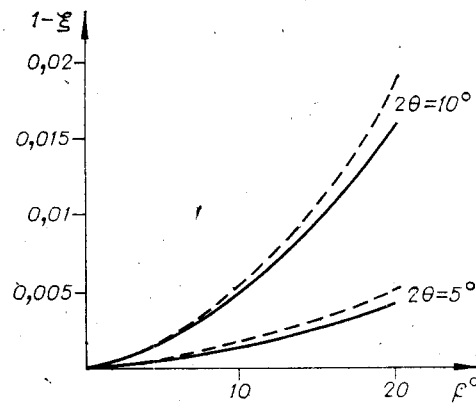


Рис. 2.

ции на нее поля  $U_i$   $i$ -го пучка;  $M$  — глубина модуляции принимаемого сигнала:

$$M = [2|U_1||U_2|/(|U_1|^2 + |U_2|^2)](G_3/G);$$

$f$  — функция, зависящая от положения рассеивателя и угла между пучками;  $s_0$  — поверхность приемной оптики;  $G_3 = \int \int \sqrt{I_1 I_2} ds_0$ .

Согласно [1], индикаторика рассеяния естественного света может быть представлена в виде

$$I_i = j_i \alpha_i(x_i)/(2k^2 r^2). \quad (2)$$

Здесь  $r$  — расстояние от точки наблюдения до центра частицы;  $k = 2\pi/\lambda$ ;  $x_i$  — угол, отсчитываемый от направления падения  $i$ -го пучка;  $\alpha_i$  — функция, табулированная в [6];  $\alpha_i$  является функцией параметров частицы:  $\alpha_i(x_i) = \alpha_i(x_i, m_0, \rho)$ , где  $\rho = ka$ .

В случае падения на частицу поляризованного света для  $\varphi = 0$  и  $\varphi = \pi$  при  $x_i \leq \beta \ll 1$  индикаторика приближенно также может быть описана выражением (2), что подтверждается и расчетами, проведенными в [5] для капель воды в воздухе ( $m_0 = 1,33$ ).

Для частиц с размерами  $a \leq 0,6$  мкм, преобладающих, например, в морской минеральной взвеси [7],  $\rho < 6$  ( $\lambda = 0,63$  мкм) и  $x_i < 12^\circ$  разрядка  $\alpha_i$  описывается функцией вида

$$\alpha_i(x) = \alpha_i(\varphi) \cos^{2n} x. \quad (3)$$

Здесь  $\varphi = 0$  или  $\varphi = \pi$ . Отметим, что при малых  $\rho$  выражение (3) переходит в известное решение Рэлея для малых частиц:  $\lim n(\rho) = 1$ .

Для  $\rho \leq 5,5$  и  $x_i \leq 20^\circ$  (3) дает относительную погрешность, не превосходящую 0,3%. В таблице приведены использовавшиеся в расчетах значения  $\alpha_i(\varphi)$  и  $n$  при  $\varphi = \pi$  и  $m_0 = 1,15$  (минеральная взвесь в морской воде).

Выберем в качестве области интегрирования в (1) часть поверхности единичной сферы с центром в  $O$ , заключенную внутри телесного угла  $2\beta$ . Полагая  $j_1 = j_2 = j_0$ ,  $\sigma_1 = \sigma_2 = \sigma_0$  и учитывая (3), получаем для мощности рассеянного света, собираемого приемной апертурой:

$$P = j_0 [\lambda^2 / (4\pi)] \alpha_i(\varphi) S (1 + m \xi f). \quad (4)$$

Здесь

$$T = \frac{1}{2\pi} \int_0^\beta dx \int_0^\pi \sin x (\cos \theta \cos x + \sin \theta \sin x \sin y)^2 dy;$$

$$S = \frac{1}{2\pi} \int_0^\beta dx \int_0^\pi \sin x (\cos^2 \theta \cos^2 x - \sin^2 \theta \sin^2 x \sin^2 y)^n dy;$$

$m = 2|U_1||U_2|/(|U_1|^2 + |U_2|^2)$  — коэффициент, учитывающий влияние на

$\rho$	$\alpha_1(\pi)$	$2n$	$\rho$	$\alpha_1(\pi)$	$2n$	$\rho$	$\alpha_1(\pi)$	$2n$
0,5	$2,481 \cdot 10^{-4}$	0,88	3,0	$1,294 \cdot 10^{-1}$	-0,11	4,5	$1,504 \cdot 10^{-1}$	-0,68
1,0	$2,778 \cdot 10^{-3}$	0,55	3,5	$5,257 \cdot 10^{-2}$	10,22	5,0	$3,301 \cdot 10^{-1}$	13,80
2,0	$2,716 \cdot 10^{-3}$	-1,60	4,0	$3,955 \cdot 10^{-1}$	3,88	5,5	$5,166 \cdot 10^{-1}$	2,00

глубину модуляции  $M$  неидентичности параметров пучков;  $\xi = G_3/G = T/S$  — коэффициент, учитывающий влияние на  $M$  параметров светорассеивающей частицы и приемной оптики.

Переходя к относительной мощности  $P_{\text{отн}} = P/P_0$ , где  $P_0$  — мощность падающего поля:  $P_0 = j_0 \pi \sigma_0^2$ , имеем

$$P_{\text{отн}} = [1/(k\sigma_0)^2] \alpha_1(\varphi) S(1 + m\xi f). \quad (5)$$

Введем обозначения:  $\varepsilon = n \sin^2 \theta$ ,  $a_n = (1 - \cos^n \beta)/n$ . Как следует из таблицы,  $\varepsilon \ll 1$  для  $\rho \leq 5,5$  и  $\theta \ll 1$ . Ограничеваясь первым порядком в разложении по малому параметру  $\varepsilon$ , находим

$$T = a_{2n+1} - \varepsilon t; \quad S = a_{2n+1} - \varepsilon s. \quad (6)$$

Здесь  $t = (a_{2n+1} + a_{2n-1})/2$ ;  $s = [(2n+1)a_{2n+1} - (2n-1)a_{2n-1}]/2$ .

Отметим также, что  $a_{2n+1}$  — член, соответствующий случаю  $\theta = 0$  и приводящий при  $n = 0$  к закону Ламберта.

Для оценки точности приближенного выражения (6) были проведены расчеты для капли воды в воздухе:  $m_0 = 1,33$ ,  $\rho = 5$ ,  $\varphi = 0$  (пунктирная кривая), которые сравнивались с результатами соответствующих расчетов по точным формулам [5] (сплошная кривая). Результаты такого сравнения приведены на рис. 2. Видно, что достаточно уже одного члена в асимптотическом разложении (6), чтобы получить удовлетворительную точность расчета  $\xi$ .

#### ЛИТЕРАТУРА

- Шифрин К. С. Рассеяние света в мутной среде.— М.: Гостехиздат, 1951.
- Ван де Хюлст Г. Рассеяние света малыми частицами: Пер. с англ.— М.: ИЛ, 1961.
- Дейрменджян Д. Рассеяние электромагнитного излучения сферическими полидисперсными частицами: Пер. с англ.— М.: Мир, 1971.
- Гембом Л. Я., Каменев И. В., Кудрявцев М. В. Особенности рассеяния двух пересекающихся пучков когерентного света на биологической клетке.— Автометрия, 1979, № 2, с. 51.
- Адамов Т. А. Расчет составляющих полезного сигнала дифференциальной схемы ЛДИСа.— Труды ЦАГИ, 1976, вып. 1755, с. 61.
- Шифрин К. С., Салганик И. Н. Таблицы по светорассеянию.— Л.: Гидрометеоиздат, 1973, т. V.
- Иванов А. П. Физические основы гидрооптики.— Минск: Наука и техника, 1975.

Поступила в редакцию 30 марта 1984 г.

УДК 621.378 : 658.562

В. А. ХАНДОГИН

(Новосибирск)

#### ОСОБЕННОСТИ ИЗМЕРЕНИЙ ПОЛЕЙ ПЕРЕМЕЩЕНИЙ МЕТОДОМ СПЕКЛ-ФОТОГРАФИИ

В настоящее время в экспериментальной механике находит широкое применение способ спектральной фотографии [1, 2]. В статье представлены результаты исследований его метрологических характеристик на примере широко применяемой схемы, позволяющей проводить измерения плоских